

## САМОСОГЛАСОВАННАЯ ДИНАМИЧЕСКАЯ ФИЛЬТРАЦИЯ ИЗОБРАЖЕНИЙ

П.В. Вангурин, В.С. Коряковцев, С.П. Котова, А.Н. Малов, А.Ф. Наумов, А.В. Парфенов

*Предложен и экспериментально исследован метод пространственной фильтрации, в котором пропускание фильтра задается самим фильтруемым сигналом. В качестве фильтра использован жидкокристаллический оптически управляемый транспарант.*

Значительные трудности при когерентно-оптической обработке информации связаны с синтезом и юстировкой пространственных фильтров. Использование в качестве фильтров жидкокристаллических оптически управляемых транспарантов (ЖК ОУТ) отчасти решает эти задачи: устраняется потребность в юстировке при изменении наклона светового пучка на входе оптической системы, синтез фильтра также осуществляется автоматически в соответствии с изменением оптического сигнала. Существенное влияние на характеристику такого фильтра оказывает выбор режима питания (амплитуды напряжения и частоты). Это позволяет проводить линейную или нелинейную фильтрацию оптических сигналов. Наибольший интерес для обработки изображения представляет нелинейная самосогласованная фильтрация в области пространственного разделения частот, поскольку в этом случае возможно избирательное управление амплитудой и фазой спектральных составляющих оптического сигнала.

В данной работе экспериментально исследуются операции низкочастотной и высокочастотной фильтрации, инверсии контраста и их применение к визуализации фазовых искажений теневым методом и в автовороном интерферометре.

Схема экспериментальной установки представляет собой интерферометр Маха — Цендера с фильтром пространственных частот, выполненным на основе ЖК ОУТ (рис. 1). ЖК ОУТ 10 с фотопроводником из силиката висмута имеет слой нематического жидкого кристалла толщиной  $d = 10 \text{ мкм}$  с исходной твист-ориентацией. Исследуемый оптический сигнал фокусировался линзой 7 на ЖК ОУТ. Плоскость поляризации падающего светового пучка совпадала с плоскостью поляризации светового пучка на выходе из ЖК ОУТ. Это достигалось использованием поляроидов 9 и 11. ЖК ОУТ можно было поворачивать относительно поляроидов. Линза 7 выбиралась исходя из разрешающей способности ЖК ОУТ и размера диска Эйри. Диаметр коллимированного светового пучка с длиной волны  $\lambda = 0,44 \text{ мкм}$ , падающего на линзу 7, составлял 10 мм, фокусное расстояние линзы 7 — 1 м. Для получения максимальной видности интерференционной картины во второе плечо интерферометра был установлен поляроид 14 с такой же ориентацией, как и у поляроидов 9, 11.

При фильтрации изображения в описанной экспериментальной установке непрозрачный экран 19 перекрывал плечо интерферометра, а в плоскость 5 помещались различные амплитудные и фазовые маски. В соответствии с пространственным распределением интенсивности падающего света происходит изменение двулучепреломления слоя жидкого кристалла. Это, в свою очередь, приводит к изменению плоскости поляризации и фазы прошедшего через транспарант света. Фазовое пропускание  $\Delta\Phi$  такого фильтра хорошо аппроксимируется следующим выражением /1/:

$$\Delta\Phi_m - \Delta\Phi(I) = k \lg (I/I_0), \quad (1)$$

где  $\Delta\Phi_m = 2\pi\Delta n d/\lambda$  ( $\Delta n$  — оптическая анизотропия);  $k = \partial\Phi/\partial I$  — коэффициент, учитывающий наклон кривой отклика фазовой задержки слоя жидкого кристалла на изменение интенсивности падающего света  $I$ ;  $I_0$  — пороговая интенсивность "включения" ЖК ОУТ. Амплитудное пропускание определяется взаимной ориентацией поляроидов 9, 11 и слоя жидкого кристалла с фазовой задержкой  $\Delta\Phi$ . В общем случае эта зависимость довольно сложная /2/.

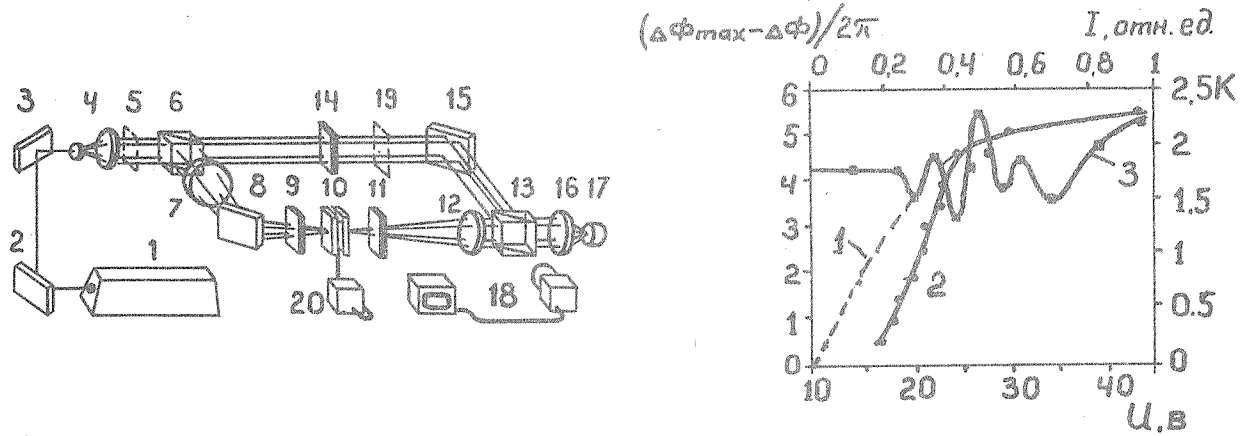


Рис. 1. Схема экспериментальной установки: 1 – He–Cd лазер; 2, 3, 8, 15 – зеркала; 4 – коллиматор; 5 – фазовая или амплитудная маска; 6, 13 – светофильтры; 7, 12 – линзы ( $F = 1$  м); 9, 11, 14 – поляроиды; 10 – ЖК ОУТ; 16 – линза; 17 – фотодиод; 18 – видеоконтрольное устройство; 19 – непрозрачный экран; 20 – генератор звуковой частоты.

Рис. 2. Характеристики ЖК ОУТ, полученные при освещении сфокусированным пучком. 1) Зависимость фазовой задержки  $\Delta\Phi_m - \Delta\Phi$  от интенсивности падающего излучения  $I$  ( $U = 25$  В, мощность излучения изменялась от 0 до 2,3 мВт). 2) Зависимость фазовой задержки от амплитуды питающего напряжения  $U$  (мощность падающего излучения 0,9 мВт, частота напряжения питания  $f = 710$  Гц). 3) Зависимость контраста  $K$  выходного изображения от напряжения питания ЖК ОУТ.

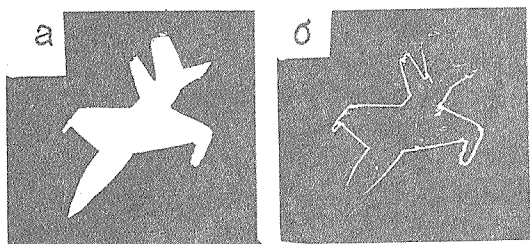


Рис. 3. Фильтрация (оконтурирование) изображения (а – исходное изображение).

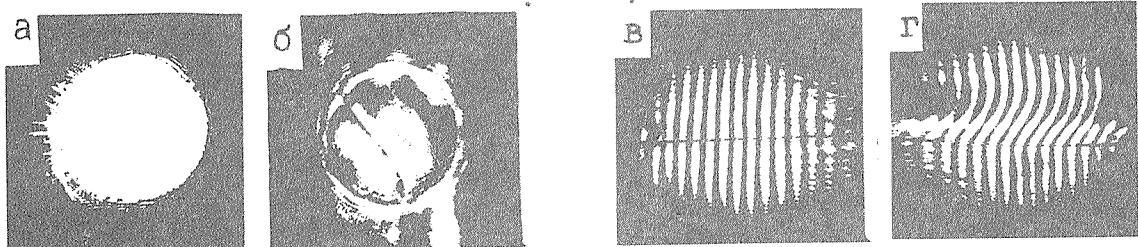


Рис. 4. Визуализация фазовых неоднородностей: а, б – пластинка слюды в качестве объекта; в, г – интерферограммы фазовых искажений, вызванных нагретой проволокой (а, в – ЖК ОУТ выключен; б, г – включен).

Управление интенсивностью оптического сигнала возможно лишь за счет его ослабления, т.е. в направлении линеаризации характеристики фазового пропускания, тогда как управление режимом питания, в частности, амплитудой напряжения, предоставляет более широкие возможности выбора характера нелинейности фазового пропускания. На рис. 2 представлены экспериментальные кривые зависимости фазового пропускания от интенсивности света (кривая 1) и приложенного напряжения (кривая 2). Амплитудное пропускание подбиралось в каждом эксперименте вращением ЖК ОУТ.

Рассмотрим некоторые приложения самосогласованной фильтрации изображений. Управление контрастом изображения (и его оконтуривание) может быть достигнуто за счет различного амплитудно-фазового пропускания для различных пространственных частот спектра оптического сигнала. В эксперименте по управлению контрастом объектом служили два близких по плотности светофильтра СЗС-24 и СЗС-25, размещенных рядом во входной плоскости 5. Направление директора ЖК на входной плоскости ОУТ составляло угол  $45^\circ$  с плоскостью поляризации падающего излучения. При изменении напряжения питания ЖК ОУТ наблюдалось изменение отношения интенсивностей в плоскости изображения, которое регистрировалось фотоприемником 17 (рис. 2, кривая 3). На рис. 3а,б показан пример оконтуривания изображения при фильтрации нулевой пространственной частоты.

При подавлении интенсивности оптического сигнала в нулевой пространственной частоте (директор ЖК на входной плоскости параллелен плоскости поляризации излучения) будет наблюдаться визуализация фазовых искажений волнового фронта. Это известный принцип работы теневых приборов. Однако теневой прибор с ЖК ОУТ обладает несомненным преимуществом — устойчивостью к разъюстировке по наклонам. Так как амплитудно-фазовое пропускание ЖК ОУТ связано с интенсивностью нелинейно (1), то распределение интенсивности датчика волнового фронта в общем случае сложным образом зависит от распределения фазы входного оптического сигнала. По этой причине данное устройство в большей степени подходит для качественных наблюдений фазовых искажений. На рис. 4а, б приведен пример визуализации фазовых неоднородностей пластинки слюды.

При измерении фазовых искажений на трассах, превышающих длину когерентности зондирующего светового пучка, например, для диагностики атмосферных фазовых искажений, применяется автоопорный интерферометр /3/. В нем опорная волна выделяется из искаженной путем фильтрации на точечной диафрагме. Самосогласованная фильтрация для выделения опорной волны более предпочтительна, особенно в условиях динамических флуктуаций атмосферы.

Часть исходного светового пучка, отщепленная с помощью светофильтрального кубика 6 (рис. 1), фокусировалась на ЖК ОУТ. Для данной интенсивности света в нулевой пространственной частоте напряжение на ЖК ОУТ выбиралось таким, чтобы пропустить свет только через область диска Эйри. Это приводило к формированию опорной волны, которая на светофильтральном кубике 13 интерферировала с другой частью исходной волны (непрозрачный экран 19 был убран из предметного плеча интерферометра). Фазовые искажения вводились нагретой проволокой, расположенной в плоскости 5. При выключении питания ЖК ОУТ интерферометр работает как сдвиговый, и искажения волнового фронта вызывают деформацию интерференционных полос, пропорциональную производной изменения фазы в направлении сдвига. Интерферограмма, представленная на рис. 4в, получена при горизонтальном сдвиге интерферометра для выключенного ЖК ОУТ, тогда как искажения волнового фронта, вызванные нагретой проволокой, происходят в вертикальном направлении. Рис. 4г демонстрирует работу автоопорного интерферометра (питание на ЖК ОУТ включено).

Таким образом, предложенный метод самосогласованной фильтрации экспериментально опробован в ряде практических приложений. Отметим, что во многих случаях для фильтрации достаточно использовать лишь небольшой участок транспаранта, на котором легче добиться однородности оптических свойств при его изготовлении.

## ЛИТЕРАТУРА

1. Б л и н о в Л. М. Электро- и магнитооптика жидкких кристаллов. М., Наука, 1978, с. 141.
2. G a r a A. D. Appl. Optics, 17, 3696 (1978).
3. V a g e k e t N. J a m e s Z. T. SPIE, 228, 4 (1980).

Поступила в редакцию 18 июня 1987 г.